



نشریه مهندسی عمران امیرکبیر

نشریه مهندسی عمران امیرکبیر، دوره ۵۳ شماره ۲، سال ۱۴۰۰، صفحات ۵۳۵ تا ۵۵۴
DOI: 10.22060/ceej.2019.15931.6081

استفاده از روش آتشکاری کنترل شده پیش شکافی و مقایسه آن با روش غیر کنترلی در معدن مس چهل کوره

میلاد قاسم وند^۱، مهدی حسینی^{۲*}، محمدرضا همتی^۳

^۱ دانشگاه بین المللی امام خمینی(ره)، قزوین

^۲ گروه مهندسی معدن، دانشگاه بین المللی امام خمینی (ره)، قزوین

^۳ کارشناس شرکت مهندسین مشاور کاوشگران

تاریخچه داوری:

دریافت: ۱۳۹۷/۱۲/۱۵

پذیرش: ۱۳۹۸/۰۳/۳۰

پذیرش: ۱۳۹۸/۰۴/۱۰

ارائه آنلاین: ۱۳۹۸/۰۴/۲۱

کلمات کلیدی:

آتشکاری کنترل شده

پیش شکافی

تونل‌سازی

معدن

مس چهل کوره

خلاصه: در عملیات آتشکاری در تونل‌ها، بروز عقب‌زدگی ناشی از انرژی زیاد مواد منفجره مشکلات فراوانی را به دنبال دارد. در این پژوهه سعی می‌شود با اجرای آتشکاری کنترل شده به روش پیش شکافی در یکی از تونل‌های پیشروی معدن مس چهل کوره زاهدان، مشکلات به وجود آمده در اثر اجرای آتشکاری به روش غیرکنترلی تا حد زیادی برطرف شود. بهمنظور طراحی الگوی آتشکاری در مقطع تونل روش‌های «تئوری انتقال انرژی» و «تیترونوبول(سوئدی)» با چال‌های موازی و زاویه‌ای بررسی شد که در نهایت الگوی آتشکاری براساس «تئوری انتقال انرژی» با چال‌های موازی به عنوان طرح نهایی انتخاب و الگوی چال‌های کنترلی نیز به روش «پیش شکافی» طراحی شد. سرانجام طرح پیشنهادی در تونل پیشروی معدن چهل کوره اجرا شد. مشاهده نتایج آتشکاری بر اساس طرح پیشنهادی نشان داد که سطح سینه کار و سقف و دیوارهای نگه داری با دیواره و سقف و جلوگیری از افزایش تمرکز تنفس برآنها می‌شود. جهت ارزیابی عملکرد آتشکاری کنترل شده پیش شکافی به صورت کمی از فاکتور QCB استفاده شد که پس از بکارگیری فاکتور مذکور عملکرد آتشکاری کنترل شده در تونل پیشروی معدن چهل کوره بر اساس طرح پیشنهادی، عالی ارزیابی شد.

۱- مقدمه

تونل‌ها و فضاهای زیرزمینی جلوگیری کرده و بدین ترتیب عقب‌زدگی را کنترل می‌کند که منجر به پایدار سازی، یکنواختی و زیبایی سطح به وجود آمده می‌شود^[۱].

در ادامه به بیان برخی از پژوهش‌های انجام شده در خصوص آتشکاری کنترل شده پرداخته می‌شود:

این پژوهش به کمک یو^۱ و همکاران با استفاده از نرم‌افزار ANSYS/LS-DYNA از طریق تحلیل تنش‌های موثر بر چال‌های انفجاری، آتشکاری آرام شبیه‌سازی عددی، و نتایج آن بر تونل گوانجو^۲ در چین اجرا شد. نتایج آتشکاری نشان داد که آسیب به دیواره تونل و لرزش و پرتاب سنگ تا حد زیادی کاهش یافته است^[۲]. وانگ^۳ و همکاران با استفاده از اطلاعات تاریخچه آتشکاری‌های انجام شده در تونل‌های فلات گویژو^۴، یک مدل رگرسیون برای پیش

میزان انرژی استفاده شده برای خرد کردن و جایجایی سنگها در عملیات آتشکاری، بالغ بر ۱۵٪ کل انرژی تولید شده است. اگر ۸۵٪ این انرژی صرف لرزش زمین و انفجار هوا می‌شود. اگر طراحی‌های چال‌های انفجاری مناسب نباشد بخشی از این ۱۵٪ انرژی نیز طراحی‌های مناسب نباشد صرف کاهش مقاومت توده سنگ‌های خارج از محدوده انفجار می‌شود. بدین ترتیب درزهای شکافها و سطوح ضعف جدیدی در توده سنگ‌های باقیمانده ایجاد می‌شود. اینها باعث گسترش عقب‌زدگی و درآمدن توده باقیمانده به صورتی می‌شود که در آستانه ریزش باشند. آتشکاری کنترل شده با مهار انرژی ناشی از انفجار، از رسیدن آسیب به توده سنگ باقی مانده در

* نویسنده عهده‌دار مکاتبات: mahdi_hosseini1@ikiu.ac.ir



عموماً از آتشکاری کنترل شده به روش آتشکاری آرام استفاده می‌شود، در این پژوهش سعی بر آن است تا کارایی و موفقیت آتشکاری کنترل شده به روش پیش‌شکافی نیز در تونل سنگیده شود. از این لحاظ این پژوهش دارای نوآوری است.

بنی نتایج آتشکاری تشکیل شد و پارامترهایی که بهترین نتایج را به دنبال دارند انتخاب گردید. پس از اجرای آتشکاری کنترل شده با استفاده از پارامترهای انتخاب شده، نتایج نشان داد که این مدل رگرسیون یک روش عملی و معقول برای بهینه‌سازی پارامترهای آتشکاری کنترل شده می‌باشد^[۳].

۲- آتشکاری کنترل شده

گرچه آتشکاری کنترل شده با اسمی مختلف و طرق متفاوت از یکدیگر اجرا می‌شوند، اما چال‌های کنترلی دارای ویژگی‌های مشترکی به شرح زیر هستند:

- این چال‌ها در پیرامون(محیط) محدوده مورد نظر حفر می‌شوند.
- فاصله چال‌های کنترلی کمتر از فاصله چال‌های تولید است.
- چال‌های کنترلی با هم موازیند و باید دقت کافی در حفر آنها به عمل آورد. در صورتیکه انحرافی در حفر چال‌ها به وجود آید، نتیجه آن عقب‌زدگی، ایجاد پله و کنگره دار شدن دیواره حاصله خواهد بود.
- قطر خرج کمتر از قطر چال است.
- در حد امکان انفجار فوری است و در غیر اینصورت کم تاخیری خواهد بود.
- چال‌های آتشکاری کنترل شده همگی با هم در یک زمان، قبل و یا بعد از چال‌های تولید انفجار می‌شوند.
- معمولاً خرج در تمام طول چال توزیع می‌شود^[۷].

روش‌های مرسوم آتشکاری کنترل شده در حفریات زیرزمینی عبارتند از:

(الف) روش آتشکاری پیش‌شکافی (ب) روش آتشکاری آرام در آتشکاری کنترل شده پیش‌شکافی یک صفحه شکاف در تونده سنگ پیش از انفجار چال‌های تولید ایجاد می‌شود. این کار معمولاً بهوسیله‌ی یک ردیف چال با قطر کم و با خوجهای جفت نشده انجام می‌شود. هدف از پیش‌شکاف ایجاد یک سطح شکستگی مصنوعی برای جلوگیری از حرکت موج انفجاری به درون تشكیلات سنگی باقیمانده است. شکاف ناشی از آتشکاری پیش‌شکافی به صورت یک سطح آزاد عمل می‌کند. شکاف (سطح آزاد) ایجاد شده نه تنها باعث جلوگیری از عقب‌زدگی می‌شود بلکه امواج ضربه ناشی از انفجار وقتی به شکاف می‌رسند، بر اساس فرآیند مکانیزم انفجار به صورت کششی برگشت نموده و باعث بهتر خرد شدن سنگ نیز می‌شود^[۸]. در این روش لرزش زمین نیز کاهش می‌یابد^[۹]. فاصله‌ی

پژوهش دیگری توسط ونکاتش^۵ و همکاران انجام شد. در این پژوهش که در یک محدوده شهری در هند اجرا شد، برای حفر ایستگاه‌ها از روش حفاری و انفجار استفاده گردید. به منظور کاهش لرزش‌های ناشی از انفجار تا حد مجاز از آتشکاری کنترل شده استفاده شد که نتایج موفقیت‌آمیز بود^[۴].

در پژوهش زیانگ هوی^۶ و همکاران به منظور کنترل عقب‌زدگی تعداد ۶ آزمایش میدانی در تونل دالیانگماو^۷ چین اجرا شد و بر اساس مشاهده نتایج، اقداماتی در جهت بهینه‌سازی پارامترهای آتشکاری کنترل شده از جمله کاهش فاصله داری چال‌ها، کاهش میزان خرج‌گذاری و استفاده از خرج منقطع به جای خرج پیوسته انجام شد. با اجرای آتشکاری بر اساس پارامترهای بهینه‌سازی شده ابعاد محدوده‌ای که در معرض عقب‌زدگی بود تا حد زیادی کاهش یافت^[۵].

در پژوهش دیگری که در شهر بمبهی هند انجام شد، به منظور جلوگیری از آسیب دیدن تونل راه آهن موجود، در اثر لرزش‌های ناشی از انفجار در عملیات حفاری تونل جدید، رینا و گوپتا^۸ اقدام به دستیابی به معادله‌ای برای پیش‌بینی لرزش‌های ناشی از انفجار کردند. بدین منظور ۱۶ آزمایش میدانی انجام شد که به تشکیل معادله پیش‌بینی لرزش بر اساس رابطه بین حداکثر میزان خرج‌گذاری و فاصله‌ی محل انفجار تا تونل قدیمی منجر شد. حفاری تونل جدید بدون آسیب رساندن به تونل قدیمی انجام شد و پایداری دیواره تونل جدید حفظ شد^[۶].

هدف این پژوهش دستیابی به یک الگوی مناسب برای آتشکاری در سینه کار پیش روی معدن چهل کوره، با مساحت مقطع $6/5 \text{ m}^2$ و همچنین اجرای آتشکاری کنترل شده پیش‌شکافی می‌باشد تا سطحی صاف در دیواره و سقف بعد از انفجار ایجاد و همچنین عقب‌زدگی کنترل شود.

در معادن ایران در تونل‌های پیش روی معمولاً از آتشکاری کنترل شده استفاده نمی‌شود. در حفاری تونل‌های غیرمعدنی نیز

۱-۲-۳- فاکتور HCF اصلاح شده (MHCF)^{۱۱}

این فاکتور باید برای تمامی چال‌های کنترلی محاسبه شده و در پایان از مقادیر موجود میانگین گرفته شود [۱۵].

$$MHCF = \frac{L}{P} \quad (2)$$

که در آن

$$L: طول کل داغی چال باقی مانده (m)$$

$$P: حداکثر طول داغی چال باقی مانده (m)$$

$$P = NOH \times (H - ((2 NOD - 1) \times \frac{T}{2}) + DH) \quad (3)$$

که در آن

NOH : تعداد چال‌ها

H : عمق طراحی شده برای هر چال کنترلی (m)

NOD : تعداد خروج‌گذاری منقطع در هر چال

T : قطر چال (m)

DH : طول خروج‌گذاری در هر چال کنترلی (m)

۱-۲-۴- میزان متوسط عقب‌زدگی (BB)^{۱۲}

جهت به دست آوردن مقدار عقب‌زدگی باید پس از اجرای آتش‌کاری میزان عقب‌زدگی به صورت یک میزان متوسط برداشت و مقدار میانگین آن بر حسب متر ارائه می‌شود.

۱-۳-۲-۳- میانگین درصد نصف محیط چال‌های کنترلی (ACH)^{۱۳}

هرچه میزان محیط داغی چال باقی مانده بیشتر و یا کمتر از نصف محیط اولیه چال باشد مقدار به دست آمده نامطلوب‌تر است.

اگر محیط چال باقی‌مانده کمتر از نصف محیط چال مورد نظر باشد:

$$ACH = \frac{8 \times AACH}{\pi \times \varphi^2} \quad (4)$$

اگر محیط چال باقی‌مانده بیشتر از نصف محیط چال مورد نظر باشد [۱۵]:

$$ACH = \frac{8 \times (0.25 \times \pi \times \varphi^2 - AACH)}{\pi \times \varphi^2} \quad (5)$$

بین چال‌های پیش شکافی از ۱۰ تا ۲۰ برابر قطر چال می‌تواند تغییر کند [۱۱]. در اثر انفجار چال‌ها ترکهای اصلی به سمت سوراخ خالی (همان شکاف مصنوعی ایجاد شده) حرکت می‌کنند و به سوراخ خالی متصل می‌شوند که نشان‌دهنده نقش هدایتی شکاف ایجاد شده در گسترش درزهای است [۱۲].

چال‌های خالی (شکاف ایجاد شده) در انفجار پیش شکافی، باعث افزایش اثربخشی توزیع تنش کششی در سنگ‌های اطراف می‌شود و در شروع و رشد ترک‌ها نیز نقش ایفا می‌کنند [۱۳].

به علت جفت‌نشدگی ماده‌ی منفجره با دیواره‌ی چال اثر فشار دینامیکی یا موج ضربه کمتر از حالت عادی است. با این حال شکاف‌های ریز ممکن است در اطراف چال به وجود آید. اما نقش عمدۀ در تولید شکاف را فشار حاصل از انبساط گازهای ناشی از انفجار بر عهده دارد. میزان فشار گازهای تولید شده، پارامتر کلیدی آتش‌کاری کنترل شده‌است که بایستی در مدت زمانی که شکاف چال‌های انفجار به هم می‌رسند حفظ شود [۷، ۱۴].

۳- ارزیابی نتایج آتش‌کاری کنترل شده

در این ارزیابی نتایج آتش‌کاری کنترل شده با استفاده از فاکتورهای کمی به شرح زیر می‌باشد:

۱-۳-۱- فاکتور داغی چال (HCF)^{۱۴}

در این روش مجموع طول اثرات چال‌های باقی مانده در دیواره تونل را بر مجموع عمق چال‌های حفر شده تقسیم می‌کنند [۱۵].

$$HCF = \frac{HCL}{TDC} \times 100 \quad (1)$$

که در آن

HCL : طول کل داغی چال‌های باقی مانده (m)

TDC : طول کل چال‌های کنترلی حفر شده (m)

۱-۳-۲- فاکتور کیفیت آتش‌کاری کنترل شده (QCB)^{۱۵}

این فاکتور با در نظر گرفتن عوامل و شرایط حاکم بر شرایط آتش‌کاری ارزیابی دقیقی از نتایج آتش‌کاری به عمل می‌آورد. عوامل موثر بر این فاکتور در ادامه بیان می‌شوند.

عنوان فاکتور پاکسازی (RDF)^{۱۵} تعريف شده است. این پارامتر به بررسی میزان حساسیت چالهای کنترلی به میزان ریزش چالها می‌پردازد. محاسبه میزان متوسط ریزش از طریق رابطه ۸ صورت می‌پذیرد [۱۵].

$$F = \frac{\sum_{i=1}^{TH} LH_i - ALH_i}{TH} \quad (8)$$

که در آن

F : میزان متوسط ریزش برای هر چال (m)
 LH_i : طول چال i (m)

ALH_i : طول چال i پس از ریزش چال (m)
 TH : تعداد کل چالهای کنترلی حفر شده

$$RDF = -0.553 F^2 + 0.5561F - 0.1781 \quad (9)$$

۴- معدن مس چهل کوره

کانسار مس چهل کوره یک کانسار باستانی است که در ۱۲۰ کیلومتری شمال غربی شهر زاهدان در رشته کوه لونکا قرار دارد. مجموع ذخایر کانسار چهل کوره بالغ بر ۸/۳۹۸ میلیون تن برآورد شده است که ذخیره قابل طراحی آن به ۳/۱۸۶ میلیون تن با عیار ۰/۵۷ تا ۳/۴ درصد می‌رسد. به دلیل عمق زیاد کانه زایی، معدنکاری در این کانسار به صورت زیر زمینی و به روش انباره ای انجام می‌شود. در شرایطی که عرض کارگاه زیاد باشد از روش میامی که ترکیب ۲ روش انباره ای و تخریب در طبقات فرعی است، استفاده می‌شود. عملیات استخراج در کارگاه‌ها با استفاده از چالزنی و انفجار صورت می‌پذیرد که محاسبات چالزنی و آتشباری با استفاده از روش «تئوری انتقال انرژی» انجام می‌گیرد. وضعیت توپوگرافی منطقه به گونه ای است که دسترسی به ترازهای پایین تر از ۱۶۳۰ متر به وسیله‌ی تونل افقی ممکن نیست، لذا برای بازگشایی ترازهای زیر ۱۶۳۰ متر از تونل شیب دار به عنوان بازکننده اصلی استفاده شده است [۱۶].

۵- طراحی آتشکاری در سینه کار پیشروی معدن مس چهل کوره

در کانسار چهل کوره از تونل‌های افقی و شیب دار به عنوان

که در آن

$AACH$: میزان نصف محیط واقعی به دست آمده از چالهای کنترلی (cm)

φ : قطر چال (cm)

در نهایت با محاسبه میانگین ACH برای تمام طول هر چال و میانگین گیری از همه ACH‌های حاصل از کل چالهای کنترل می‌توان میزان ACH را برای عملیات آتشکاری کنترل شده مورد نظر محاسبه نمود.

۴-۲-۳- میانگین درصد فاصله داری چالهای کنترلی (SCH)

به منظور دستیابی به یک دیواره صاف باید شکاف ایجاد شده در بین چالهای کنترل به صورتی باشد که میزان فاصله داری اولیه برای چالهای کنترلی حفظ گردد.

$$SCH = \frac{S}{AS} \quad (6)$$

که در آن

AS : میزان فاصله داری واقعی ایجاد شده بعد از انفجار (cm)

S : میزان فاصله داری اولیه چالهای کنترل (cm)

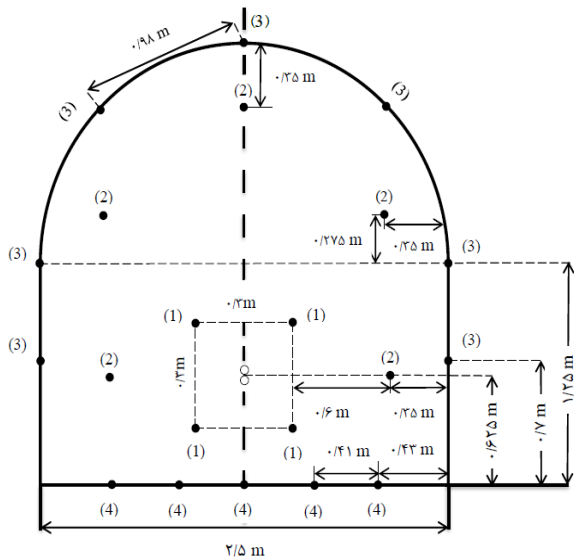
در نهایت میزان SCH برای هر دو چال متواالی محاسبه شده و در نهایت متوسط مقادیر به دست آمده منظور می‌شود.

بر اساس رابطه (۷) فاکتور QCB به دست می‌آید [۱۵].

$$QCB = A(MHCF) + 1/B(BB) + C(ACH) + D(SCH) \quad (7)$$

مقادیر A ، B ، C و D ضرایبی هستند که با توجه به عوامل موثر بر فاکتورهای ذکر شده تعیین می‌گردند جداول مربوط به این ضرایب در مرجع ۷ وجود دارند که به علت حجم زیاد مقاله در متن مقاله ذکر نشده است. در واقع این ضرایب به منظور تاثیر عوامل غیر قابل تغییر (وضعیت درزه و شکاف، ریزشی بودن چال و ...) در نظر گرفته شده‌اند.

با استفاده از جداول موجود مجموع امتیازهای به دست آمده برای هر فاکتور در جدول ۷ آورده شده است. در جداول پارامتری تحت



شکل ۲. آرایش و نوبت انفجار چال‌ها در طرح فعلی
Fig. 2. Holes blasting arrangement and sequencing in the present plan

کنترل شده «پیش شکافی» برای طراحی چال های محیطی استفاده شده است.

٥- مشخصات مقطع

مشخصات مقطع مورد نظر پایی طراحی آتشکاری به شرح

جدا، (۱) می باشد [۱۶].

٥-٢- طرح فعلى

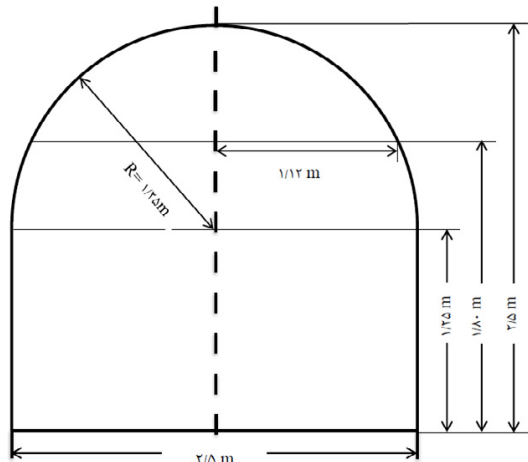
طراحی الگوی آتشکاری که در حال حاضر در سینه کار پیشروی اجرا می‌شود بدین صورت است که قطر تمام چال‌ها ۳۴mm و عمق تمام چال‌ها ۱/۱m است. تعداد چال‌های بخش برش ۴ عدد که به صورت گوه‌ای با زاویه ۷۴ درجه حفر می‌شوند.

تعداد چالهای بخش پیشروی نیز ۵ عدد می‌باشد.
آتشکاری در بخش محیطی به صورت غیر کنترلی است که در
این بخش تعداد ۷ چال با قطر ۳۴mm و عمق ۱/۱m و زاویه ۷ درجه
به سمت دیواره حفر می‌شود. بار سنگ چالهای محیطی ۴۲/۵cm و
فاصله داری آنها مطابق شکل ۲ می‌باشد. پنج چال در قسمت کف،
و دو چال خالی در مرکز برش با قطر ۳۴mm و عمق ۱/۱m حفر می‌

نیویند. سکل ۱ الکتوی حفر چال‌های زاویه‌ای را نستان می‌دهد.
خروج اصلی امولایت با قطر ۲۷mm، طول ۲۸cm و وزن $\frac{1}{2}kg$ و
سیستم انفعا، بنانا است. میان خ-گذاز، حالا ها و شما ه تا خواه ها

جدول ١ . مشخصات مقطع [١٦]

$5/6 m^2$	مساحت مقطع
$2/5 m$	ارتفاع تونل
$2/5 m$	عرض تونل
$1/25 m$	ارتفاع دیوارهای
$1/25 m$	شعاع قوس



شكل ١. مقطع تونل

بازنده اصلی استفاده می‌شود. این بازندها با توجه به جانمایی و کاربری آنها، در بخش‌های مختلف شبکه معدن و در سطح مقطع‌های متفاوت طراحی شده‌اند [۱۶]. برای ساخت این تونل‌ها از حفاری و آتش‌کاری به صورت غیر کنترل شده استفاده می‌شود و این امر سبب بروز مشکلات ناشی از عقب‌زدگی گشته و همچنین باعث می‌شود دیواره‌ها به شکل ناصاف و دندانه دار ایجاد شود که این مسئله خود باعث عدم انطباق کامل واحدهای نگه داری با دیواره و سقف تونل می‌گردد که افزایش تمرکز تنفس بر واحدهای نگه داری را به دنبال دارد. بنابراین در این پژوهش سعی شده است که با طراحی و اجرای آتش‌کاری به صورت کنترل شده در مقطع $5/6$ متر مربع (با توجه به پیشنهاد مسئولین معدن این مقطع انتخاب شد) از بروز مشکلات مذکور جلوگیری شود و همچنین میزان بهره وری بالا برده شود.

برای طراحی آتش‌کاری در مقطع $5/6$ m³ از روش «تئوری انتقال انرژی» با چال‌های موازی و زاویه ای و روش «نیترونوبل (سوئدی)» با چال‌های موازی و زاویه ای استفاده شده است. به منظور طراحی و اجراء آتش‌کاری، کنتراشده نیز، اتصال و قعاده آتش‌کاری،

جدول ۲. میزان خرچ گذاری چال‌ها و شماره تاخیرها در طرح فعلی
Table 2. Amount of charging holes and delays number in the present plan

شماره در هر چال (kg)	تعداد کل فسنگ	تعداد فسنگ در چال	تعداد چال	میزان تاخیر	شماره تاخیر
۲/۴	۱۲	۳	۴	۳۲۰۰ میلی ثانیه	(۱)
۳	۱۵	۳	۵	۳۴۰۰ میلی ثانیه	(۲)
۲/۸	۱۴	۲	۷	۳۶۰۰ میلی ثانیه	(۳)
۳	۱۵	۳	۵	۳۸۰۰ میل ثانیه	(۴)
۱۱/۲	۵۶		۲۱		مجموع

موجود نمی باشد.

(۲) اگر مقدار به دست آمده در محاسبات را برای قطر چال خالی قابل اجرا فرض کنیم، با توجه به امکانات موجود باید ۱ عدد چال خالی با قطر ۳۴ mm را در نظر بگیریم که با این فرض بار سنگ ماکزیمم (B_{max}) و بار سنگ واقعی (B) به صورت زیر محاسبه می شوند [۷]:

$$B_{max} = 1.7 \varphi_h \quad (11)$$

که در آن

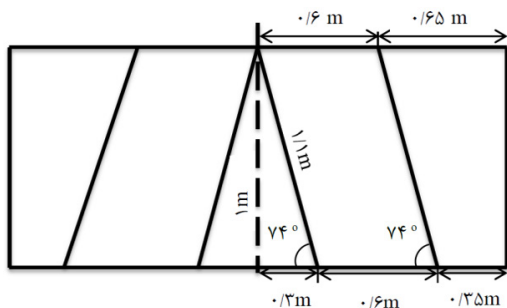
B_{max} : بار سنگ ماکزیمم (متر)

φ_h : قطر چال خالی (متر)

$$B = B_{max} - (\alpha H + \beta) \quad (12)$$

که در آن

B: بار سنگ واقعی



شکل ۳. الگوی حفر چال‌های زاویه‌ای در طرح فعلی

Fig. 3. The pattern of drilling angled holes in the present plan

مطابق جدول ۲ می باشد [۱۶].

۳-۵- طراحی براساس روش نیترونوبل(سوئدی) با چال‌های موازی

در این روش فرمول‌هایی برای محاسبه بار سنگ، عمق چال، تراکم خرج و دیگر پارامترها ارائه شده است که می‌توان با اعمال آنها بر روی برش چهار مقطعی اقدام به طراحی آتشکاری مقطع تونل در هر کدام از بخش‌ها نمود.

با توجه به دلایل زیر و بر اساس امکانات و تجهیزات و محدودیت‌های موجود، طراحی و اجرای آتشکاری تونل مورد نظر با این روش عملی و امکان پذیر نیست:

۱) در این روش رابطه ۱۰ برای محاسبه عمق چال ارائه شده است [۷].

$$H = 0.15 + 34.1\varphi_h - 39.4 \varphi_h^2 \quad (10)$$

که در آن

H: عمق چال (m)

φ_h : قطر چال خالی (m)

از آنجایی که در انتخاب عمق چال محدودیت وجود دارد، به گونه‌ای که تنها عمق‌های ۱/۱ m و ۱/۶ m در معدن چهل کوره قابل اجرا است، در محاسبات بر عکس عمل شد و قطر چال خالی بر حسب عمق چال (۱/۱ و ۱/۶ متر) محاسبه گشت. مقادیر به دست آمده ۳۰ mm و ۵۱ mm می‌باشد. براساس لزوم حفر چال خالی با قطری بزرگ‌تر از قطر چال انفجاری (۳۴ یا ۳۶ میلی‌متر)، و همچنین لزوم حفر چال خالی با قطری بیش از ۵۰ mm، حفر چال خالی با قطر ۳۰ mm مناسب نمی باشد. امکان حفر چال با قطر ۵۱ mm هم

که در آن

I_b : تراکم خرج در چال (kg/m)

φ : قطر خرج (m)

D_h : چگالی خرج‌گذاری (kg/m³)

α : تانژانت زاویه انحراف چال

β : خطای استقرار سرمه (متر)

$$B_{max} = 1/7 (0/034) = 0/057 \text{ m}$$

$$I_b = \frac{\pi (0/034)^3}{4} \times 1247 = 1/13 \text{ kg/m}$$

بر اساس تراکم خرج محاسبه شده و با توجه به عمق چال (۱/۱ متر)، طول خرج (۱۷ سانتیمتر) و وزن خرج (۰/۲ کیلوگرم) طول خرج‌گذاری برابر با $1/05$ متر بدست می‌آید.

$$1/13 \times 1/1 = 1/24 \text{ kg} \div 0/2(\text{kg}) = 6/21$$

$$6/21 \times 0/17 = 1/05 \text{ m} = \text{طول خرج‌گذاری}$$

این بدين معنی است که تقریباً تمام طول چال باید خرج‌گذاری شود که خرج‌گذاری به این مقدار صحیح نمی‌باشد.

۴-۴-۵- بخش پیشروی

برای محاسبه میزان بار سنگ و فاصله داری در این بخش روابط زیر صادق است [۷]:

$$B' = I_b \frac{30}{\varphi_c} \times f \quad (14)$$

که در آن

B' : بار سنگ (متر)

f : مقداری ثابت بر اساس زاویه حفر چال می‌باشد که برای زاویه 60° درجه برابر است با .

$$B = S \cdot 1.1 \quad (1) \quad S: \text{فاصله داری (m)}$$

B : بار سنگ (m)
بنابراین بارسنگ (B') و فاصله داری (S') برای بخش پیشروی

با فرض حداقل انحراف زاویه‌ای و حداقل انحراف در نقطه شروع

$$\text{چال: } \alpha = 0/01 = 10 \text{ mm/m} \quad \beta = 0/01$$

$$B = 0/057 - (0/01 \times 1/1) = 0/046 \text{ m}$$

بار سنگ حقيقی به دست آمده حدود $4/6 \text{ cm}$ است که در عمل امكان اجرای چنین مقداری نمی‌باشد.

۴-۵- طراحی براساس روش نیترونوبل(سوئدی) با چال‌های زاویه‌ای در این روش روابطی برای طراحی بارسنگ، فاصله داری و میزان خرج‌گذاری در قسمت‌های مختلف چال ارائه شده است که با استفاده از آنها می‌توان به طراحی آتش‌کاری برای مقطع تونل پرداخت. در نتایج محاسبات مربوط به طراحی پارامترهای آتش‌کاری برای بخش‌های مختلف مقطع، اشکالاتی اساسی وجود دارد که به دلیل وجود این اشکالات، طراحی آتش‌کاری با این روش عملی و امكان پذیر نیست. در ادامه محاسبات و اشکالات موجود در نتایج محاسبات هر بخش ارائه می‌شود.

۴-۵-۱- بخش برش

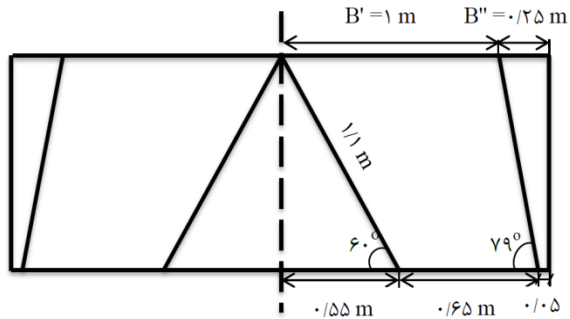
در کلیه محاسبات فرض بر این است که زاویه بین چال‌های برش حداقل 60° درجه است. خرج نیز باید بخوبی در چال فشرده شود لذا $\varphi_c = \varphi_h$. بنابراین اگر قطر چال را 34 میلیمتر در نظر بگیریم، قطر خرج نیز 34 میلیمتر و طول خرج در اثر فشرده شدن برابر با 17 سانتیمتر می‌شود.

محاسبات مربوط به طراحی پارامترهای آتش‌کاری به شرح زیر می‌باشند [۷]:

$$I_b = \frac{\pi \varphi_c^2}{4} D_h \quad (15)$$

جدول ۳. مشخصات ماده منفجره و سنگ
Table 3. Explosive and rock specifications

ماده منفجره	سنگ	پاپارامتر
$7/2 \times 10^6$	$6/88 \times 10^6$	امپدانس ($\text{kg/m}^2 \text{ sec}$)
۱۲۴۷	۲۵۰۰	وزن مخصوص (kg / m^3)
۴/۱ (MJ/kg)	$1/18 \times 10^{-3}$ (MJ/m^2)	انرژی مخصوص



شکل ۴. الگوی حفر چالهای زاویه‌ای در طراحی بر اساس روش نیترونوبل
Fig. 4. The pattern of drilling angled holes in the plan according to the Nitro Nobel method

$$q = \frac{S \cdot E_s}{\eta_1 \cdot \eta_2 \cdot \eta_3 \cdot E_e} \quad (16)$$

که در آن

q : خروج ویژه (کیلوگرم بر متر مکعب)

η_1 : ضریب امپدانس

η_2 : ضریب جفت شدگی

η_3 : ضریب خردایش (۰/۱۵)

E_s : انرژی سطحی مخصوص سنگ (MJ/m^3)

E_e : انرژی مخصوص ماده منفجره (MJ/kg)

$$S = \frac{64}{D_m} \quad (17)$$

که در آن

S : مساحت سطح جدید ایجاد شده (متر مربع / مترمکعب)

D_m : اندازه بزرگترین قطعه بعد از خردایش (متر)

$$B = \varphi_c \sqrt{\frac{\pi D_e}{4q}} \quad (18)$$

B : بار سنگ (m)

φ_c : قطر خرج (mm)

D_e : چگالی ماده منفجره (kg/m^3)

۱-۵-۵- بخش برش

قطر چال در این بخش ۳۴ mm، قطر خرج ۲۷ mm و عمق چال

بدین صورت محاسبه می‌شوند:

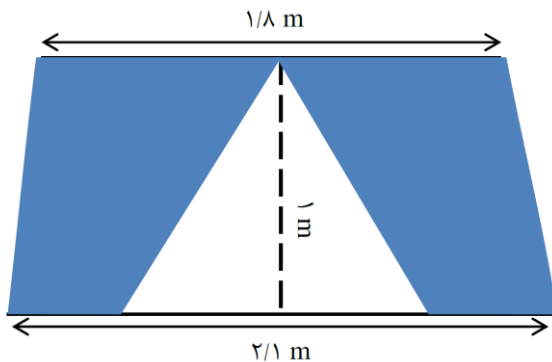
$$B' = (1/12) \frac{3}{(34)} \times 1 = 0.99 \text{ m}$$

$$S = (1/11) \times 0.99 = 0.99 \text{ m}$$

همان‌طور که در شکل ۴ قابل مشاهده است بر اساس ابعاد مقطع بار سنگ به دست آمده (B')، بسیار بزرگ است و عملاً قابل اجرا نیست. چرا که با در نظر گرفتن این فاصله زیاد اولاً سنگی که در حد فاصل چالهای برش و پیش‌روی قرار دارد به خوبی حفاری نخواهد شد، ثانیاً فاصله‌ی کم بین دیواره و چالهای پیش‌روی (فاصله در دهانه ۰/۰۵ متر و در انتهای ۰/۲۵ متر) باعث آسیب رسیدن به دیواره می‌شود.

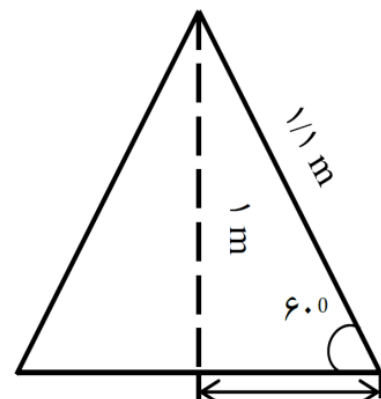
۵-۵- طراحی بر اساس تئوری انتقال انرژی با چالهای زاویه‌ای
انتقال انرژی از ماده منفجره به سنگ تابع دو عامل می‌باشد که یکی عامل امپدانس ماده منفجره و سنگ، که بیانگر کیفیت ماده منفجره و سنگ است، و دیگری ضریب جفت شدگی که تابع قطر چال و قطر خرج می‌باشد. در این روش ابتدا میزان خرج مورد نیاز برای هر بخش از مقطع محاسبه شده، سپس براساس حجم سنگ تحت حفاری در هر بخش میزان خرج در هر چال تعیین می‌شود. مشخصات مورد نیاز سنگ تحت حفاری و ماده منفجره مصرفی به شرح جدول ۳ است [۱۶].

روابط مورد استفاده در این روش به صورت زیر هستند [۷]:



شکل ۶. بخش تحت حفاری توسط چالهای پیشروی موجود در کنار چالهای برش (بخش رنگی)

Fig. 6. Drilling area by advancing holes drilled beside the cutting holes (colored section)



شکل ۵. گوه طراحی شده در بخش برش

Fig. 5. The wedge designed for cutting section

حجم سنگ استخراج شده در بخش پیشروی مطابق شکل (۶) و (۷) به دست می‌آید و با توجه به میزان خرج و بیهوده محاسبه شده (q)، مشخصات ماده منفجره و میزان خرج‌گذاری تعیین می‌شود.

۳-۵-۵-بخش محیطی

بنابر هدف اصلی این پژوهش طراحی چالهای محیطی باید بر اساس قواعد آتش‌کاری کنترل شده پیش شکافی صورت گیرد. با توجه به محدودیت‌هایی که در انتخاب قطر چال، عمق چال و نوع ماده منفجره در معدن چهل کوره وجود دارد، برای انتخاب پارامترهای دیگر یعنی فاصله داری (S)، تراکم خرج و فاصله چالهای محیطی تا آخرین ردیف چالهای پیشروی اقدام می‌شود. نتایج در جدول ۴ قابل مشاهده است.

میزان خرج‌گذاری چالها و شماره تاخیرها در طراحی بر اساس تئوری انتقال انرژی با چالهای زاویه‌ای در جدول ۵ ارائه شده است. الگوی حفر چالهای زاویه‌ای، و آرایش و نوبت انفجار چال‌ها در طراحی بر اساس تئوری انتقال انرژی با چالهای زاویه‌ای به ترتیب در شکل‌های (۸) و (۹) قابل مشاهده است.

طراحی آتش‌کاری به روش تئوری انتقال انرژی با چالهای زاویه‌ای، در این مقطع دارای اشکالاتی می‌باشد که به دلیل وجود این اشکالات اجرای حفاری تونل به این روش مردود می‌باشد. اشکالات موجود به شرح زیر می‌باشند:

- (۱) رعایت زاویه ۶۰ درجه برای چالهای برش، و همچنین رعایت

۱/۱ m در نظر گرفته می‌شود. بنابراین:

$$S = \frac{64}{0.05} = 1280 \text{ m}^2 / \text{m}^3$$

$$q = \frac{1280 \times (1/18 \times 10^{-3})}{0.98 \times 0.055 \times 0.15 \times 4/1} = 4/55 \text{ kg / m}^3$$

منظور از بار سنگ (B) در این بخش، فاصله بین انتهای چالهای برش در یک گوه و گوه بعدی است و از آن جایی که به دلیل عرض کم مقطع نیاز به حفر بیش از یک گوه نیست پس پارامتر بار سنگ در این بخش مفهومی ندارد.

حجم سنگ استخراج شده در بخش برش مطابق شکل ۵ ۰/۵۵ m³ به دست می‌آید.

۲-۵-۵-بخش پیشروی

قطر چال در این بخش نیز ۳۴ mm، قطر خرج ۲۷mm، عمق چال ۱/۱ m، و D_m برابر با ۰/۲ m می‌باشد.

$$S = 320 \text{ m}^2 / \text{m}^3$$

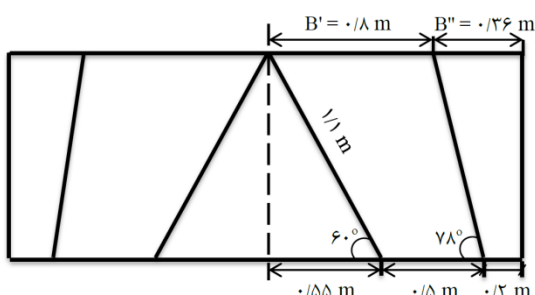
$$q = 1/13 \text{ kg / m}^3$$

$$B' = 0.027 \sqrt{\frac{\pi \times 1247}{4(1/13)}} = 0.79 \text{ m}$$

جدول ۵. میزان خرچ‌گذاری چال‌ها و شماره تاخیرها در طراحی بر اساس تئوری انتقال انرژی با چال‌های زاویه‌ای

Table 5. Amount of charging holes and delays number in the design according to the theory of energy transfer with angled holes

وزن خرچ در هر شماره (kg)	تعداد کل فسنگ	تعداد فسنگ در چال	تعداد چال	میزان تاخیر	شماره تاخیر
۲/۶	۱۳	۱	۱۳	فوری	(۰)
۲/۴	۱۲	۲	۶	۵۰۰ میلی ثانیه	(۱)
۲/۸	۱۴	۱	۱۴	۵۰۰ میلی ثانیه	(۲)
۲	۱۰	۲	۵	۵۰۰ میلی ثانیه	(۳)
۹/۸	۴۹		۳۸		مجموع



شکل ۸. الگوی حفر چال‌های زاویه‌ای در طراحی بر اساس تئوری انتقال انرژی

Fig. 8. The pattern for drilling angled holes in the plan according to the theory of energy transfer

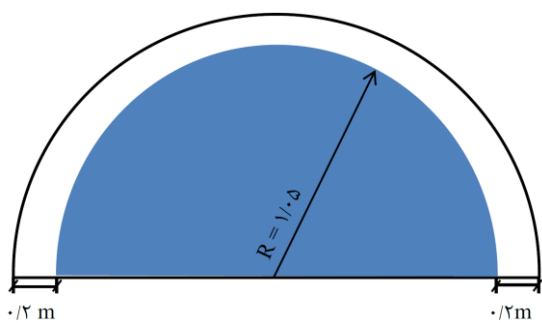
۲) تعداد فشنگ مصرفی در هر چال پیشروی ۱ عدد می‌باشد. در نظر گرفتن بار سنگ ۰/۸ متر برای چال‌های پیشروی باعث تشکیل حجم زیادی سنگ بین بخش برش و پیشروی می‌گردد که خرج‌گذاری به این مقدار قادر به حفر این حجم از سنگ نمی‌باشد.

۳-۶- طراحی بر اساس تئوری انتقال انرژی با چال‌های موازی روش کار در این روش نیز همانند آنچه در بخش تئوری انتقال انرژی با چال‌های زاویه‌ای گفته شد می‌باشد.

جدول ۴. پارامترهای آتشکاری کنترل شده پیش‌شکافی

Table 4. Pre-split controlled blasting parameters

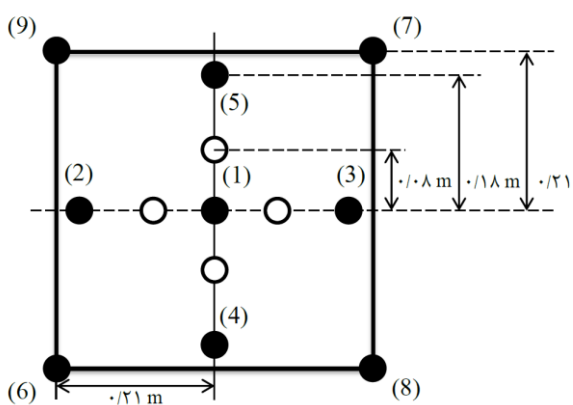
مقدار		پارامتر	
۰/۴۵	دیواره	فاصله داری (m)	
۰/۴			
۰/۴۹			
۳۶	قطر چال (mm)		
۱/۱	عمق چال (m)		
۰/۲	تراکم خرج (kg/m)	خرج‌گذاری	
$0.12 \times 1/1 = 0.12$	طول خرج‌گذاری (m)		
۱	تعداد فشنگ		
۰/۲	گل‌گذاری (m)		
۰/۶	فاصله تا ردیف پیشروی (m)		



شکل ۷. بخش تحت حفاری توسط چال‌های پیشروی موجود در قوس زیر سقف تونل (بخش رنگی)

Fig. 7. Drilling area by advancing holes drilled in the arc under the tunnel's roof (colored section)

بار سنگ به دست آمده برای چال‌های پیشروی ($B' = 0.9$ m)، موجب ایجاد فاصله 0.35 m بین چال‌های پیشروی و چال‌های محیطی در انتهای، و 0.2 m در ابتدای چال‌ها می‌شود. از لحاظ قواعد آتشکاری کنترل شده این فاصله باید حدود 0.6 m باشد. بنابراین فواصل مذکور بسیار کم می‌باشند و اجرای آتشکاری با این فواصل سبب بروز عقب‌زدگی در دیواره و رسیدن آسیب جدی به آن خواهد شد.



شکل ۱۰. آرایش و نوبت انفجار چال‌ها در برش

Fig. 10. Holes blasting arrangement and sequencing in burn cut

۲-۶-۵-بخش پیشروی

قطر چال در این بخش mm ۳۴، قطر خرج mm ۲۷ و عمق چال m ۰/۱ می باشد. محاسبات به شرح زیر می باشد.

$$S = \frac{64}{0.1} = 640 \text{ m}^2 / \text{m}^3$$

$$q = \frac{640 \times (1/18 \times 10^{-3})}{0.98 \times 0.55 \times 0.15 \times 4/1} = 2/22 \text{ kg / m}^3$$

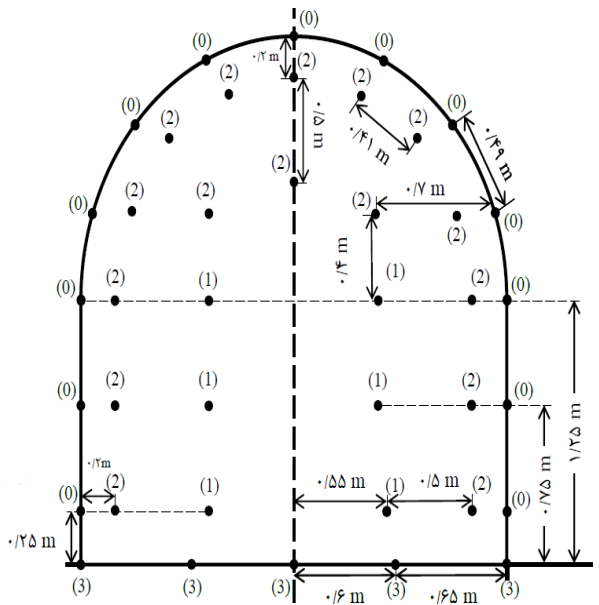
$$B' = 0.27 \sqrt{\frac{\pi \times 1247}{4(2/22)}} = 0.56 \text{ m}$$

میزان خرجگذاری در بخش‌های برش و پیشروی، مطابق آنچه در بخش طراحی بر اساس تئوری انتقال انرژی با چال‌های زاویه ای توضیح داده شد محاسبه می شود. حجم سنگ استخراج شده در بخش‌های برش و پیشروی به ترتیب بر اساس شکل‌های (۱۰) و (۱۱)، m³ ۰/۱۷ و ۰/۱۳ است.

۳-۶-۵-بخش محیطی

طراحی بخش محیطی به روش کنترل شده پیش شکافی مطابق جدول ۴ انجام می شود.

آرایش و نوبت انفجار چال‌ها در شکل ۱۲ قابل مشاهده است. میزان خرجگذاری و شماره تاخیرها نیز در جدول ۶ بیان شده است. طراحی آتشکاری به روش تئوری انتقال انرژی با چال‌های موازی



شکل ۹. آرایش و نوبت انفجار چال‌ها در طراحی بر اساس تئوری انتقال انرژی با چال‌های زاویه ای

Fig. 9. Holes blasting arrangement and sequencing in energy transfer plan with angled holes

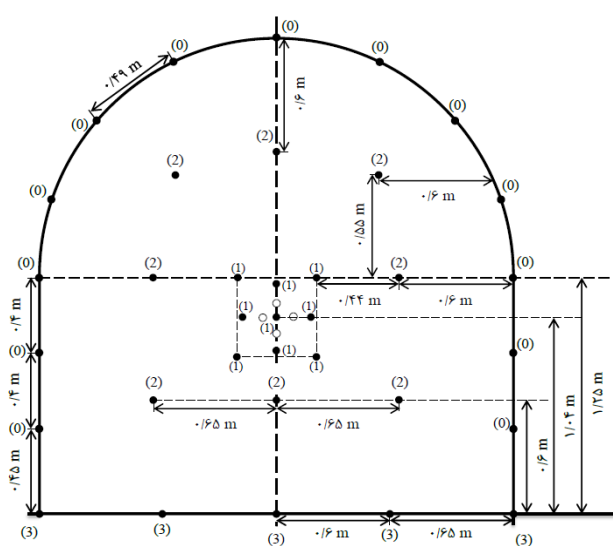
۱-۶-۵-بخش برش

قطر چال در این بخش mm ۳۴، قطر خرج mm ۲۷mm و عمق چال m ۰/۱ می باشد. محاسبات به شرح زیر می باشد.

$$S = \frac{64}{0.1} = 6400 \text{ m}^2 / \text{m}^3$$

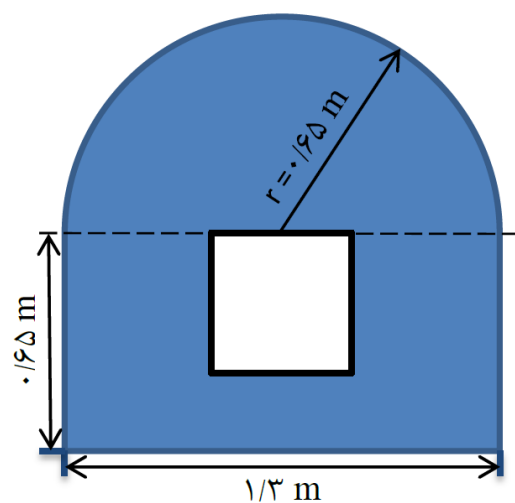
$$q = \frac{6400 \times (1/18 \times 10^{-3})}{0.98 \times 0.55 \times 0.15 \times 4/1} = 22/78 \text{ kg / m}^3$$

با توجه به محدودیتی که در اجرای چال خالی با قطر بزرگ در معدن چهل کوره وجود دارد، برای چال‌های این بخش از الگوی برش «Burn cut» استفاده شده است که قطر چال خالی با قطر چال انفجاری حفر شود که در نهایت منجر به ایجاد یک فضای مربعی شکل به ابعاد ۰/۴۲ × ۰/۴۲ متر می شود. آرایش و نوبت انفجار چال‌ها در این برش به صورت شکل (۱۰) می باشد.



شکل ۱۲. آرایش و نوبت انفجار چال‌ها در طراحی بر اساس تئوری انتقال انرژی با چال‌های موازی

Fig. 12. Holes blasting arrangement and sequencing in the plan according to the theory of energy transfer with parallel holes



شکل ۱۱. بخش تحت حفاری توسط چال‌های پیشروی (بخش رنگی)
Fig. 11. Drilling area by advancing holes (colored section)

جدول ۶. میزان خرج‌گذاری چال‌ها و شماره تاخیرها در طراحی بر اساس تئوری انتقال انرژی با چال‌های موازی

Table 6. Amount of charging holes and delays number in the design according to the theory of energy transfer with parallel holes

شماره تاخیر	میزان تاخیر	تعداد چال	تعداد فشنگ در چال	تعداد کل فشنگ	وزن خرج در هر شماره (kg)
(۰)	فوری	۱۳	۱	۱۳	۲/۶
(۱)	میلی ثانیه	۹	۲	۱۸	۳/۶
(۲)	میلی ثانیه	۸	۲	۱۶	۳/۲
(۳)	میلی ثانیه	۵	۲	۱۰	۲
مجموع		۳۵		۵۷	۱۱/۴

برطرف می‌شود.

۲) طراحی با چال‌های موازی این امکان را فراهم می‌سازد که فاصله بین چال‌های پیشروی و محیطی به میزان دلخواه تنظیم شود تا ضمن رعایت قواعد آتش‌کاری کنترل شده از رسیدن آسیب به دیواره و بروز عقب‌زدگی جلوگیری شود.

۳) طول خرج‌گذاری به دست آمده در بخش‌های مختلف به مقدار رعایت شده در عمل نزدیک می‌باشد که این امر سبب می‌شود محاسبه میزان خرج‌گذاری علمی تر و محاسبات از اعتبار بیشتری در واقعیت برخوردار باشند. در نهایت با بررسی‌های میدانی انجام شده این نتیجه حاصل شد که اجرای آتش‌کاری با بکارگیری تئوری انتقال انرژی با چال‌های موازی و آتش‌کاری کنترل شده پیش شکافی در بخش محیطی قابل اجرا می‌باشد. بنابراین طرح مذکور به عنوان طرح نهایی انتخاب می‌گردد.

۶- اجرا و ارزیابی طرح پیشنهادی و مقایسه آن با طرح فعلی

۶-۱- اجرای طرح پیشنهادی

کانسار مس چهل کوره متناسب با گسترش عمقی آن به ترازهای ۴۰ متری تقسیم می‌شود. نخستین تراز که از طریق تونل افقی قابل دسترسی است تراز ۱۶۳۰ متر است، سایر ترازها به وسیله‌ی تونل شیب دار بازگشایی شده‌اند. محل اجرای طرح یکی از تونل‌های

به دلایل زیر مناسب و معقول می‌باشد. بنابراین طرح مورد نظر قابل پذیرش و اجرایی است. دلایل به شرح زیر می‌باشد:

- ۱) به دلیل محدودیتهای موجود در انتخاب قطر چال امکان حفر چال خالی با قطر بزرگ وجود ندارد. با انتخاب الگوی Burn cut که در آن قطر چال‌های خالی و چال‌های انفجاری برابر است این مشکل

- تعداد ۳ داغی چال با طول ۱ متر
- تعداد ۱ داغی چال با طول ۰/۹۵ متر
- بنابراین فاکتور QCB به صورت زیر محاسبه می‌شود:

$$QBC = \frac{1}{1/23} (1/01) + \frac{1}{1/21} (0/73) + \frac{1}{1/4} (0/89) = 17/65$$

که با توجه به مقدار به دست آمده، بر اساس جدول ۷ نتیجه آتشکاری کنترل شده پیش شکافی در سینه کار تونل پیشروی B در معدن مس چهل کوره، عالی ارزیابی می‌شود.

۶-۳- مقایسه نتایج طرح پیشنهادی با طرح فعلی
طول فرورفتگی‌ها و برآمدگی‌ها در دیواره و سقف از ۱۵ تا ۳۵ سانتی متر در طرح فعلی به ۵ تا ۱۵ سانتی متر در طرح پیشنهادی کاهش یافت. همچنین سطح سینه کار به دلیل توزیع منظم و یکنواخت چال‌ها در سطح مقطع و البته حفر مستقیم و بدون زاویه

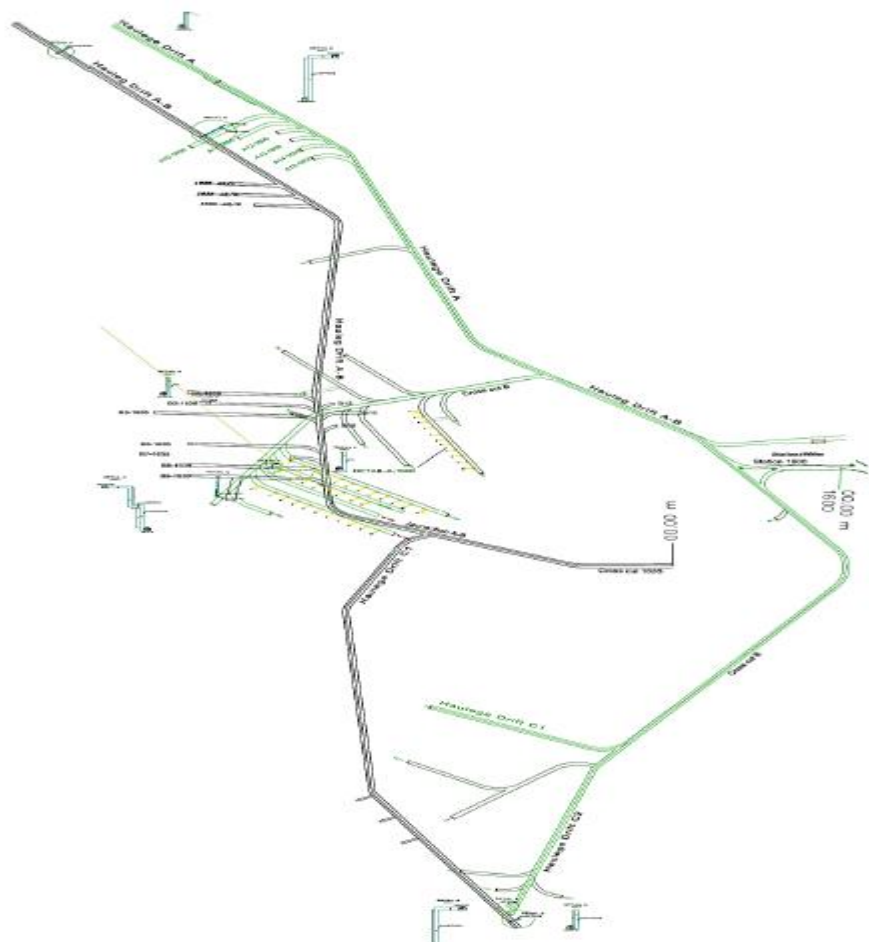
دسترسی موسوم به تونل (B) واقع در تونل شبیه دار (A-B) که در تراز ۱۶۳۵ قرار گرفته است می‌باشد. شکل (۱۳) شبکه معدن در تراز ۱۶۰۰ و ۱۶۳۵ را نشان می‌دهد. محل اجرای طرح در شکل (۱۴) با پیکان مشخص شده است [۱۶].

حفاری و خرج‌گذاری مطابق آنچه در قسمت طراحی بر اساس تئوری انتقال انرژی با چال‌های موازی گفته شد، بر اساس شکل (۱۲) و جدول (۶) انجام شد.

۶-۲- ارزیابی نتایج آتشکاری کنترل شده در طرح پیشنهادی

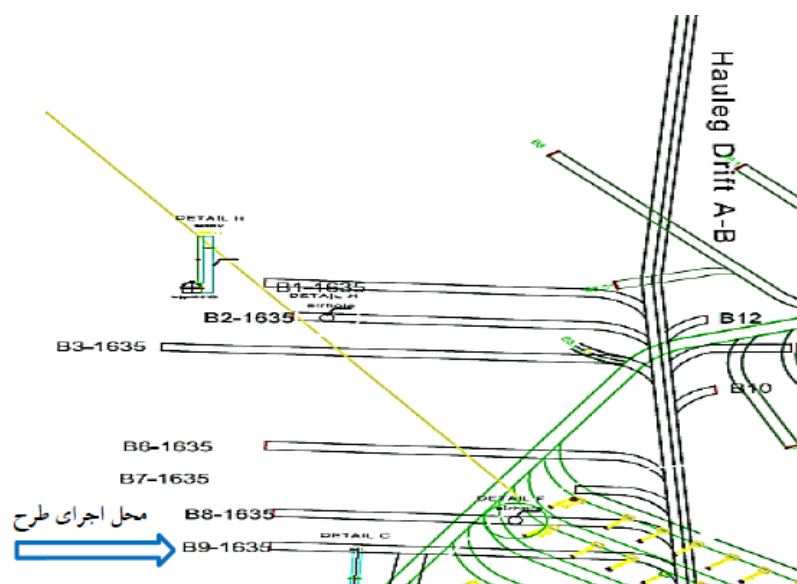
پس از انجام عملیات آتشکاری در سینه کار پیشروی تونل B در معدن مس چهل کوره از مجموع ۱۳ چال حفر شده با طول ۱/۱ متر در بخش محیطی مقطع، ۱۰ داغی چال باقی ماند که طول آنها بدین شرح است:

- تعداد ۶ داغی چال با طول ۱/۱ متر



شکل ۱۳. شبکه معدن چهل کوره در تراز ۱۶۰۰ و ۱۶۳۵ [۱۶]

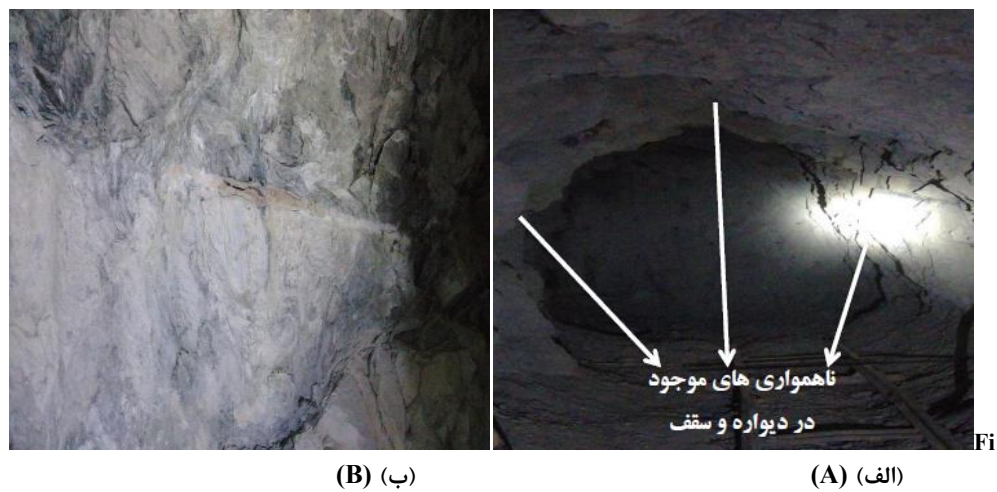
Fig. 13. CHEL KOOREH mining network in 1600 and 1635 levels



شکل ۱۴. محل اجرای طرح در شبکه معدن
Fig. 14. Place of implementing the plan in the mining network

جدول ۷. محاسبه ضرایب مربوط به تونل B9 در معدن مس چهل کوره
Table 7. Calculating the coefficients related to the tunnel B9 in the CHEL KOOREH mine

پارامتر	RDF	روش آتشکاری کنترل شده	وضعیت خرد شدگی سنگها			مجموع امتیازات	مقدار ضریب
امتیاز	۱	۰	۳			۴	۱/۲۳
پارامتر	امتداد و شبیب دسته درزهای	فاصله داری درزهای	روش خرج گذاری	وضعیت پر شدگی درزهای	وضعیت خرد شدگی سنگها		B
امتیاز	۲	۵	۱	۷	۳	۱۸	۰/۷
پارامتر	RDF	روش آتشکاری کنترل شده	وضعیت خرد شدگی سنگها	روش خرج گذاری			C
امتیاز	۱	۵	۳	۱		۱۰	۱/۲۱
پارامتر	امتداد و شبیب دسته درزهای	وضعیت خرد شدگی سنگها					D
امتیاز	۵	۳				۸	۱/۴



شکل ۱۵. (الف) مقطع تونل B پس از انفجار بر اساس طرح فعلی ب) دیواره توفل، (B) پس از انفجار بر اساس طرح پیشنهادی

Fig. 15. A) Cross-section of the B9 tunnel after blasting according to the current plan; B) The wall of tunnel B9 after blasting according to the proposed plan

قطر بزرگ نیز فراهم نبود در نتیجه اجرای چالهای برش موازی استوانه ای نیز کنار گذاشته شد و در نهایت با توجه به محدودیت‌های تجهیزات در معدن از الگوی چالهای برش موازی برن کات که قطر چالهای خالی و خروج گذاری شده یکسان است استفاده شد.

۷-۲- مطالعات اقتصادی

در این بخش محاسبات هزینه‌های حفاری و انفجار ارائه می‌شود.

۷-۲-۱- هزینه حفاری

دستمزد هر حفار معادل ۲۵۰۰۰۰۰ ریال در ماه می‌باشد. ۲ نفر حفار در هر روز ۲ نوبت حفاری (۴۶ چال) در روز انجام می‌دهند، تعداد روزهای کاری در ۱ ماه ۲۶ روز می‌باشد، محاسبات به شرح زیر است (همه هزینه‌ها بر اساس ریال محاسبه شده‌است):

متراژ حفاری در ۱ ماه = (تعداد روزهای کاری در ماه) × (تعداد چال حفر شده در روز) × (طول هر چال)

$$= 1315/6 \times 46 \times 2 = 1315/6 \text{ m}$$

هزینه ۱ متر حفاری به ازای دستمزد حفارها = (مجموع دستمزد حفارها در ۱ ماه) ÷ (متراژ حفاری در ۱ ماه)

هزینه ۱ متر حفاری به ازای دستمزد حفارها

$$= 5000000 \div 1315/6 = 38005/47$$

- قیمت هر متۀ معادل ۱۷۰۰۰۰۰ ریال می‌باشد و هر متۀ در

تمام چال‌ها، تا حد زیادی صاف تر و یکدست تر ایجاد شد.

بعاد سنگ حفر شده در طرح فعلی ۱۵ تا ۲۵ سانتی متر بود. اما در طرح پیشنهادی مقداری سنگ به صورت پودر حاصل شد که بنظر می‌رسد مربوط به بخش برش است. قسمت عمده‌ی سنگ حفر شده دارای ابعاد ۱۰ تا ۱۵ سانتی متر و تعداد کمی نیز سنگ با ابعاد درشت ۱۵ تا ۲۵ سانتی متر مشاهده شد. در این مورد نیز کاهش مناسب ابعاد منجر به رفع مشکلات مربوط به خاک برداری و تراپری گشت. یکی دیگر از دستاوردهای مهم اجرای طرح پیشنهادی دستیابی به پیشروی ۱۰۰٪ بود، بدین مفهوم که میزان پیشروی با عمق چال‌های حفر شده یکسان و برابر با ۱/۱ متر بود. این در حالی است که میزان پیشروی با اجرای الگوی فعلی در حال اجرا حدود ۱ متر است. شکل (۱۵) مقطع تونل B پس از آتشکاری بر اساس طرح فعلی و طرح پیشنهادی نشان می‌دهد.

۷- مطالعات فنی و اقتصادی

۷-۱- مطالعات فنی

همان‌طور که در بخش طراحی آتشکاری ذکر شد با توجه به سطح مقطع کوچک تونل B، امکان آتشکاری کنترل شده با چال‌های برش زاویه‌ای امکان پذیر نبود. بنابراین گزینه استفاده از چال‌های برش موازی مورد بررسی قرار گرفت. با توجه به محدودیت‌های که از لحاظ قطر سرمهته وجود داشت امکان حفر چال‌های خالی با

هزینه کل مواد منفجره + هزینه کل حفاری = هزینه کل حفاری و آتشکاری برای ۱ نوبت

$$= ۶۳۳۰۳۱۸ + [۴۶۰۶۲۸۱ \times (۶۸۱۴۳/۷۹)] = هزینه کل حفاری و آتشکاری برای ۱ نوبت$$

محاسبه هزینه‌های حفاری و آتشکاری با طرح پیشنهادی
 تعداد چال‌های انفجاری ۳۵، وزن امولایت مصرفی ۱۱/۴ کیلوگرم
 و میزان فیتیله انفجاری مصرفی ۵ متر می‌باشد. بنابر این:

$$1329582 = 116630 \times (kg) \times (11/4)$$

 امولایت (kg) / ریال = ۱۳۲۹۵۸۲

$$57275 = 5150250 \times (5) = هزینه نائل آتشکاری$$

$$57275 = 11455 \times (5) = هزینه فیتیله انفجاری$$

$$152600 = 76300 \times (2) = هزینه چاشنی الکتریکی$$

$$6689707 = 5150250 + (57275 \times 152600) + (1329582 \times 57275) = هزینه کل مواد منفجره$$

هزینه کل مواد منفجره + هزینه کل حفاری = هزینه کل حفاری و آتشکاری برای ۱ نوبت

$$= 9613075 + (68143/79) \times (42/9) = هزینه کل حفاری و آتشکاری برای ۱ نوبت$$

 همان‌گونه که مشاهده می‌شود اختلاف هزینه بین اجرای آتشکاری با طرح پیشنهادی و طرح فعلی برابر است با ۳۲۸۲۷۵۶ ریال است.
 با توجه به نتایج مثبت اجرای آتشکاری با طرح پیشنهادی که منجر به کاهش هزینه‌های لارده گذاری و تراپری، افزایش میزان پیشروی، بهبود عملکرد حفاری در نوبت‌های بعدی انفجار، و همچنین با توجه به حفظ ایمنی کارکنان، این افزایش هزینه در طرح پیشنهادی نسبت به طرح فعلی، توجیه اقتصادی دارد. در ضمن در صورتیکه سرمته‌های

حدود ۸۰۰ متر قابلیت حفاری دارد. بنابراین:

(قابلیت حفاری هر متره بر حسب متر) \div (قیمت خرید هر متره)

= هزینه ۱ متر حفاری به ازای خرید متره

$21250 = 1700000 \div (800)$ = هزینه ۱ متر حفاری به ازای خرید متره

ازای خرید متره

$59255/47 = 21250 + (38005/47)$ = هزینه کل ۱ متر

حفاری

به هزینه فوق میزان ۱۵٪ به دلیل هزینه‌های جانبی و استهلاک

دستگاه افزوده می‌شود:

$68143/79 = 59255/47 \times (1/15)$ = هزینه نهایی ۱ متر

حفاری

۲-۲-۷- هزینه‌ی آتشکاری

لیست قیمت اقلام مورد استفاده در عملیات انفجار در جدول ۸ نشان داده شده است.

هزینه‌های حفاری و آتشکاری با طرح فعلی (در حال اجرا):
 تعداد چال‌های انفجاری ۲۱، وزن امولایت مصرفی ۱۱/۲ کیلوگرم
 و میزان فیتیله انفجاری مصرفی ۵ متر می‌باشد. بنابر این:

$$1306256 = 116630 \times (kg) \times (11/2)$$

 امولایت (kg) / ریال = ۱۳۰۶۲۵۶

$$3090150 = 147150 \times (21) \times (57275) = هزینه نائل آتشکاری$$

$$57275 = 11455 \times (5) = هزینه فیتیله انفجاری$$

$$152600 = 76300 \times (2) = هزینه چاشنی الکتریکی$$

$$4606281 = 152600 + (57275 \times 3090150) + (1306256 \times 147150) = هزینه کل مواد منفجره$$

جدول ۸. لیست قیمت اقلام مورد استفاده در عملیات انفجار

Table 8. The price of items used in the blasting operation

عنوان	واحد	قیمت(ریال)	قیمت نهایی (با در نظر گرفتن ۹٪ ارزش افزوده)
امولایت	kg	۱۰۷,۰۰۰	۱۱۶,۶۳۰
نائل	عدد	۱۳۵,۰۰۰	۱۴۷,۱۵۰
چاشنی الکتریکی	عدد	۷۰,۰۰۰	۷۶,۳۰۰
فیتیله انفجاری	m	۱۰,۵۰۰	۱۱,۴۴۵

مقاومت توده سنگ (σ_1) در دو حالت اجرای آتشکاری کنترل شده و غیر کنترل شده به ترتیب $6/46$ و $3/77$ مگاپاسکال به دست می‌آید. مقاومت توده سنگ در حالت اجرای آتشکاری کنترل شده $1/71$ برابر مقاومت توده سنگ در حالت است که آتشکاری غیر کنترل شده (طرح فعلی) اجرا شود. در حالت فعلی (اجرا آتشکاری غیرکنترل شده) قاب‌ها کشویی به فاصله ۱ متری نصب می‌شود که می‌توان در حالت اجرای آتشکاری کنترل شده فاصله را به حدود $1/7$ متر افزایش داد در این حالت در طول 10 متر تونل حدود ۷ قاب نصب می‌شود در حالیکه در طرح فعلی (اجرا آتشکاری غیرکنترل شده) 11 قاب نصب می‌شود. قیمت هر قاب حدود 1500000 ریال است. در نتیجه در صورت اجرای آتشکاری کنترل شده هزینه نگهداری تونل 6000000 ریال کمتر از اجرای آتشکاری غیرکنترل شده است. هزینه حفاری 10 متر تونل برای اجرای آتشکاری غیر کنترل شده کنترل شده هزینه 63303180 ریال (در هر سیکل 1 متر پیشروی) و در آتشکاری کنترل شده هزینه 86517675 ریال (در هر سیکل $1/1$ متر پیشروی) می‌شود. در نهایت می‌توان گفت هزینه طرح پیشنهادی (آتشکاری کنترل شده) 36785505 ریال کمتر از هزینه اجرای آتشکاری غیر کنترل شده است و اجرای طرح اقتصادی نیز می‌باشد.

۸- نتیجه گیری

در این تحقیق امکان اجرای آتشکاری کنترل شده به روش پیش شکافی در معدن مس چهل کوره بررسی شد. پس از بررسی روش‌های مختلف طراحی در نهایت استفاده از چالهای برش موازی با الگوی برن کات انتخاب شد. طراحی‌ها بر اساس تئوری انتقال انرژی انجام شد و این طرح در مقطع تونل B واقع در شبکه معدن مس چهل کوره اجرا شد. اجرای آتشکاری کنترل شده در تونل امری ضروری است. چرا که موضوع عقب‌زدگی از حساسیت بالایی در تونل‌ها برخوردار است. آتشکاری کنترل شده با حفظ فاصله استاندارد بین چال‌ها و رعایت میزان خرچ‌گذاری مناسب باعث حفاری بهتر دیوارهای سقف شده و از بروز ناهمواری و دندانه دار شدن جلوگیری می‌کند. این امر سبب می‌شود واحدهای نگه داری (قاب‌های فلزی) انبساط بیشتری با دیواره و سقف داشته باشند و لارده گذاری بهتر و منظم تری انجام شود. نتایج حاصله پس از اجرای طرح پیشنهادی با استفاده از روش آتشکاری کنترل شده پیش شکافی به شرح زیر می‌باشند:

با قطر بزرگتر خردباری شود امکان حفر چال خالی با قطر بزرگتر وجود دارد در این حالت قطر چال‌های انفجاری نیز افزایش می‌یابد در این صورت هزینه‌ها کاهش پیدا خواهد کرد. لازم به ذکر است در این پژوهش با توجه به امکانات موجود مسئولین معدن درخواست طراحی آتشکاری کنترل شده کرده بودند که با طرح پیشنهادی قابل اجرا است. برای توجیه اقتصادی طرح آتشکاری پیشنهادی می‌توان این گونه بیان کرد که در طرح آتشکاری کنترل شده سنگهای اطراف تونل تقریباً دست نخورده باقی می‌مانند در حالیکه در آتشکاری که در معدن اجرا می‌شوند سنگهای اطراف دچار دست خوردگی می‌شوند.

ثابت‌های معیار شکست هوک و براون برای توده سنگ بر طبق روابط ۱۹ و ۲۰ محاسبه می‌شود [۱۷].

$$m_b = m_i \exp\left(\frac{GSI - 100}{28 - 14D}\right) \quad (19)$$

$$S = \exp\left(\frac{GSI - 100}{9 - 3D}\right) \quad (20)$$

در این روابط m_i : ثابت معیار شکست هوک و براون برای سنگ بکر که برای ماسه سنگ (سنگ‌های اطراف تونل) 17 در نظر گرفته می‌شود. i : شاخص مقاومت زمین شناسی که برای سنگ‌های اطراف تونل 50 در نظر گرفته می‌شود. D : فاکتوری است که وابسته به درجه دست خوردگی سنگ است که برای آتشکاری کنترل شده صفر و برای آتشکاری که غیر کنترل شده می‌باشد $0/8$ در نظر گرفته می‌شود [۱۷]. با توجه به اعداد ذکر شده، ثابت‌های معیار شکست هوک و براون برای توده سنگ در حالت اجرای آتشکاری کنترل شده $m_b = 85/2$ و $S = 3/86 \times 10^{-3}$ و برای حالت اجرای آتشکاری غیرکنترل شده $m_b = 0/86$ و $S = 5/12 \times 10^{-3}$ به دست می‌آید. حال اگر مقاومت توده سنگ با استفاده از معیار شکست هوک و براون (رابطه 21) برای دو حالت محاسبه شود.

$$\sigma_1 = \sigma_3 + (m_b \sigma_3 \sigma_{ci} + S \sigma_{ci}^2)^{1/2} \quad (21)$$

در این رابطه برای تنش جانبی ($\sigma_3 = 0/58$ مگاپاسکال) و مقاومت تراکم تکمحوری سنگ بکر ($\sigma_{ci} = 20$ مگاپاسکال) مقدار

- Guanjiao tunnel, Rock Mechanics: Achievements and Ambitions, (2011) 57.
- [3] J. Wang, B. Zou, X. Zhou, L. Hu, Parameter Optimization of Smooth Blasting on Large-Section Deep-Buried Tunnel Based on Factor Regression Model, in: ISRM SINOROCK 2013, International Society for Rock Mechanics and Rock Engineering, 2013.
- [4] H. Venkatesh, G. Gopinath, R. Balachander, A. Theresraj, K. Vamshidhar, Controlled blasting for a metro rail project in an urban environment, in: Rock Fragmentation by Blasting: The 10th International Symposium on Rock Fragmentation by Blasting, 2012 (Fragblast 10), Taylor & Francis Books Ltd, (2013) 793-801.
- [5] D. Xiang hui, C. Xiang xun, L. Yan bin, L.C. Xu dong, L. Yan bin, L. Xu dong, Blasting control technology of horizontal stratified tunnel, Journal of chang' an university, China, 37 (2017) 73-81
- [6] [6] R. Gupta, A. Raina, Controlled blasting for a new tunnel near an existing railway tunnel, in: Tunneling in Rock by Drilling and Blasting, CRC Press, (2012) 53-56.
- [7] C. Lopez Jimeno, E. Lopez Jimeno, F. Carcedo, Drilling and blasting of rock, Rotterdam: Taylor & Francis US., 1995.
- [8] S. Dindarloo, N. Askarnejad, M. Ataei, Design of controlled blasting (pre-splitting) in Golegohar iron ore mine, Iran, Mining Technology, 124(1) (2015) 64-68.
- [9] P. Singh, M. Roy, R.K. Paswan, Controlled blasting for long term stability of pit-walls, International Journal of Rock Mechanics and Mining Sciences, 70 (2014) 388-399.
- [10] K. Niminye, K. Bansah, G. Ngissah, K. Niminye, K. Bansah, G. Ngissah, Optimizing Presplit Blasting for Environmental Control and Pit Wall Stability, in: 4 th UMaT Biennial International Mining and Mineral Conference, (2016) 1-7.
- [11] G.C. Sen, Blasting Technology for Mining and Civil Engineering, University of New South Wales Press, 1995.
- [12] Y. Wang, Experimental research on the influence of an empty-hole defect on crack connections between a directionally fractured blast hole, Journal of Testing and Evaluation, 45(6) (2017) 2139-2150.
- [13] B. Chen, C. Liu, J. Yang, Design and application of

- اجرای آتشکاری کنترل شده به روش پیش شکافی موفقیت آمیز بود. بنابر این با در نظر گرفتن شرایط سنگ میتوان روش پیش شکافی را یک روش کاربردی و مناسب در حفاری تونل ها دانست.
- میزان فاکتور داغی چال ۷۷/۷۳٪ به دست آمد که این مقدار نشان می دهد نتیجه عملیات آتشکاری تا حد زیادی قابل قبول بوده و عملکرد آتشکاری کنترل شده پیش شکافی در این مورد بسیار مناسب بوده است.
- محاسبه فاکتور QCB نشان داد که عملکرد آتشکاری کنترل شده به روش پیش شکافی در مقطع مورد نظر عالی بوده است.
- سطح سینه کار پس از انفجار بسیار هموار بود و این امر حاکی از آن است که عملکرد الگوی Burn cut و چال های پیشروی مناسب بوده است. صاف بودن سطح سینه کار اجرای بهتر الگوی چالزنی و در نهایت بهبود نتایج آتشکاری در عملیات بعدی را به دنبال دارد.
- میزان پیشروی با الگوی پیشنهادی به ۱۰۰٪ می رسد که این مسئله یک دستاورد بسیار مهم است.
- ابعاد سنگ های حاصل از انفجار با الگوی پیشنهادی، نسبت به چال های زاویه ای کوچک تر است و حمل و دپوی آن به مراتب آسان تر و سریع تر انجام می شود.

پی نوشت

- ¹ - Yu
- ² - Guanjiao
- ³ - Wang
- ⁴ - Guizhou
- ⁵ - Venkatesh
- ⁶ - Ziang-hui
- ⁷ - Daliangmeo
- ⁸ - Raina & Gupta
- ⁹ - Half Cast Factor
- ¹⁰ - Quality of Controlled Blasting
- ¹¹ - Modify Half Cast Factor
- ¹² - Back Break
- ¹³ - Ambience of Control Holes
- ¹⁴ - Spacing of Control Holes
- ¹⁵ - Re-Drilling Factor

مراجع

- [1] R. Ostovar, Blasting in mines, Amirkabir university Jihad, Tehran, 2012. (in Persian).
- [2] Y. Yu, Y. Lu, Y. Lu, Numerical simulation of controlled perimeter blasting and field test on the fracture zones in

- blasting factor QCB to evaluate controlled blasting results, in: The first conference on explosion engineering, Tehran, 2010.
- [16] Kavoshgaran Consulting Engineers, Report of Chehel Kooreh copper mine, 2007.
- [17] E. Hoek, C. Carranza-Torres, B. Corkum, Hoek-Brown failure criterion-2002 edition, Proceedings of NARMS-Tac, 1(1) (2002) 267-273.
- blasting parameters for presplitting hard roof with the aid of empty-hole effect, Shock and Vibration, 2018.
- [14] L. Trivino, B. Mohanty, Assessment of crack initiation and propagation in rock from explosion-induced stress waves and gas expansion by cross-hole seismometry and FEM-DEM method, International Journal of Rock Mechanics and Mining Sciences, 77 (2015) 287-299.
- [15] S.H. Khoshrou, Malekzadeh. B, A new approach control

چگونه به این مقاله ارجاع دهیم

M. Ghasemvand, M. Hosseini, M.R. Hemmati, Using pre-splitting controlled blasting method and comparing it with non-control method in Chehel Kooreh copper mine, Amirkabir J. Civil Eng., 53(2) (2021) 535-554.

DOI: [10.22060/ceej.2019.15931.6081](https://doi.org/10.22060/ceej.2019.15931.6081)



